

REFERÊNCIAS

ABNT ASSOCIAÇÃO BRASILEIRA DE NORMAS TÉCNICAS, NM ISO 6507-1, Materiais metálicos - Ensaio de dureza Vickers Parte 1: Método de ensaio, ed. Associação Brasileira de Normas Técnicas, Brasil, 2008;

ALBERT, S. K.; MATSUI, M.; WATANABE, T.; HONGO, H.; KUBO, K.; TABUCHI, M. Variation in the Type IV cracking behaviour of a high Cr steel weld with post weld heat treatment. International Journal of Pressure Vessels and Piping, 80, 405-413, 2003;

ASM American Society for Metals, Metals Handbook Volume 9 Metallography and Microstructure, ed. American Society for Metals, USA, 1989;

ASME AMERICAN SOCIETY OF MECHANICAL ENGINEERS, B31.1: Power Piping, American National Standard Institute, EUA, 2008;

ASME AMERICAN SOCIETY OF MECHANICAL ENGINEERS, IX: Qualification Standard for Welding, Brazing, and Fusing Procedures; Welders; Brazers; and Welding, Brazing, and Fusing Operators, ASME Boiler and Pressure Vessel Code, EUA, 2013;

ASTM AMERICAN SOCIETY FOR TESTING AND MATERIAL. A335/A335M – 11: Standard Specification for Seamless Ferritic Alloy-Steel Pipe for High-Temperature Service, ASTM International, USA, 2006;

ASTM AMERICAN SOCIETY FOR TESTING AND MATERIAL. E 23: Standard Test Methods for Notched Bar Impact Testing of Metallic Materials, Annual Book of ASTM Standards, vol. 14, USA, 2007;

AYALA, E.; ROMAN, M.; VEGA, J.; GOMEZ, X.; GENEZ-ACEBO, T.; ECHBERRIA, J. Delta ferrite formation in 9-12% chromium steel weldments, In: Viswanathan, R. and Nutting, J., eds. Advanced Heat Resistant Steels for Power Generation, London, The Institute of Materials, 633-643 ,1999;

AWS AMERICAN WELDING SOCIETY, A5.28/A5.28M: Specification for Low-Alloy Steel Electrodes and Rods for Gas Shielded Arc Welding, USA, 2005;

AWS AMERICAN WELDING SOCIETY, A5.29/A5.29M: Specification for Low-Alloy Steel Electrodes for Flux Cored Arc Welding, American Welding Society, USA, 2005;

BAILEY, N. Weldability of Ferritic Steels. Cambridge: Abington Publishing, Inglaterra, 1994;

BÉRES, L., BALOGH, A., IRMER, W., KIRK, C. S. Behavior of welded joints of creep-resistant steels at service temperature. Welding Research. AWS (American Welding Society) Welding Journal. Flórida, EUA, 2003;

BERGQUIST, E. L. Consumables and welding modified 9Cr-1Mo steel. Svetsaren, 54(1-2), 22-25, 1999;

BRACARENSE, A.Q. Processo de soldagem com Arame Tubular – FCAW, Universidade Federal de Minas Gerais, Grupo de Robótica, Soldagem e Simulação. Belo Horizonte, 2005;

BRETT, S. J. Cracking experience in steam pipework welds in national power. VGB Conf. on Materials and Welding Technology in Power Plants. Essen, Germany, 1994;

CARDOSO, D. C. Comportamento e mecanismos de falha à fluência em aços P91 e juntas soldadas. 2009. 115 f. Dissertação (Mestrado em Engenharia Mecânica) – Instituto Superior de Engenharia de Lisboa, Lisboa, Portugal, 2009;

CUNHA, B. R. M. Soldabilidade da nova geração de aços ferríticos Cr-W resistentes a altas temperaturas. 2006. 101 f. Dissertação (Mestrado em ciências em engenharia metalúrgica e de materiais) – Universidade do Federal do Rio de Janeiro, Rio de Janeiro, 2006;

EVANS, H. E. Mechanisms of Creep Fracture, Elsevier Applied Science Publishers, London and New York, 1984;

EVANS R.W.; WILSHIRE, B. Creep of Metals and Alloys, The Institute of Metals, 1985;

FERREIRA, D. C. F. Efeitos de diferentes tratamentos térmicos na microestrutura e nas propriedades mecânicas de um aço 9CrMoWVNb. 2010. 69 f. Projeto de Graduação (Projeto de Graduação apresentado ao Curso de Engenharia Metalúrgica da Escola Politécnica) - Universidade Federal do Rio de Janeiro, Rio de Janeiro, 2010;

FORTES, C. Metalurgia da soldagem, ESAB, Brasil, 2004;

FRANCIS, J. A.; MAZUR, W.; BHADESHIA, H. Estimation of type IV cracking tendency in power plant steels, ISIJ International, 44, 1966-1968, 2004;

GAFFARD, V. Experimental study and modelling of high temperature creep flow and damage behaviour of 9Cr1Mo-NbV steel weldments. Paris: Escole des Mines de Paris, 2004;

GIESEKE, B.; BRINKMAN, C.; AND MAZIASZ, P. The influence of thermal aging on the microstructure and fatigue properties of modified 9Cr-1Mo steel. In Microstructures and mechanical properties of aging material, TMS The Minerals, Metals & Materials Society, 1993;

GOMES, O.F. M. Processamento e análise de imagens aplicados à caracterização automática de materiais. 2001. 138 f. Dissertação (Mestrado em Engenharia Metalurgica) , Departamento de Ciência de Materiais e Metalurgia PUC-RJ, Rio de Janeiro, 2001;

GOSWAMI, P. P(T)91- A review of current code and fabrication practices. Advances in materials technology for fossil power plants: Proceedings from the Sixth International Conference (ASM International), 2010;

HAARMANN, K.; VAILLANT, J. C.; VANDENBERGHE, B.; BENDICK, W.; ARBAB, A. The T91/P91 Book, Vallourec & Mannesmann Tubes, 2002;

HAGEN, I. V.; BENDICK, W. Creep resistant ferritic steels for power plants. Proceedings of the International Symposium on Niobium 2001, Orlando, USA, pp.753 – 776, 2002;

HELIS, L.; TODA, Y.; HARA, T. et al. Effect of cobalt on the microstructure of tempered martensitic 9Cr steel for ultra-supercritical power plants, Materials Science and Engineering A510–511, 88–94, 2009

HILKES, J.; GROSS, V. Welding CrMo steels for power generation and petrochemical applications. Past, Present & future. Böhler Schweißtechnik Deutschland GmbH, 2009;

HONGO, H.; TABUCHI, M.; WATANABE, T. Type IV Damage behavior in gr.91 steel welded joints. The Minerals, Metals & Materials Society and ASM International, 2011;

ISSLER, S.; KLENK, A.; SHIBLI, A. A.; WILLIAMS, J. A. Weld repair of ferritic welded materials for high temperature application. International Materials Reviews, 49, 299-324, 2004;

KLUEH, R. L. Elevated temperature ferritic and martensitic steels and their application to future nuclear reactors. International Materials Reviews, 50, 287-310, 2005;

KOU, S. Welding Metallurgy, 2^o ed., John Wiley & Sons, New Jersey, USA, 2003;

LISBOA, M. B. Nova geração de aços ferríticos Fe-Cr-W(V) – Análise da evolução microestrutural e comportamento mecânico sob condições de fluência. 2007. 206 f. Tese (Doutorado em ciências em engenharia metalúrgica e de materiais) – Universidade do Federal do Rio de Janeiro, Rio de Janeiro, Brasil, 2007;

MARQUES, P.V.; MODENESI, P.J.; BRACARENSE, A.Q. Soldagem: Fundamentos e Tecnologia. 1a. ed., Belo Horizonte: UFMG, 2005;

MANNHEIMER, W.A. Microscopia dos Materiais. Uma Introdução, 1ºed., Epapers, Rio de Janeiro, 2002;

MARUYAMA, K.; SAWADA, K.; KOIKE, J. Strengthening mechanisms of creep resistant tempered martensitic steel. IS/J International, vol. 41, pp. 641-643, 2001;

MASUYAMA, F. New developments in steels for power generation boilers. In: Viswanathan, R. and Nutting, J., eds. Advanced Heat Resistant Steel for Power Generation. London, IOM Communications Ltd, 33-48, 1999;

MAYR, P. Evolution of microstructure and mechanical properties of the heat affected zone in B-containing 9% chromium steels. PhD. Faculty of Mechanical engineering Graz University of Technology, Austria, 2007;

NATESAN, K.; MAJUMDAR, S.; SHANKAR, P. S.; SHAH, V. N. Preliminary materials selection issues for the next generation nuclear plant reactor pressure vessel, Technical Report, Argonne National Laboratory, 2006;

NEWELL, W. F. Jr. Guideline for welding P(T)91 materials, EPRI, Palo Alto, CA: 1006590, 2001;

OLIVEIRA, T. P. Estudo da soldagem dissimilar entre aços ASTM P91 e DIN 14MOV6.3 para componentes sujeitos a fluência. 2010. 125 f. Dissertação (Mestrado em Engenharia Mecânica) – Universidade Federal de Santa Catarina, Santa Catarina, Brasil, 2010;

ROCHA, A. M. C. Estudo do tratamento térmico de juntas soldadas em aço X10CrMoVNb9-1. 2012. 60 f. Dissertação (Mestrado Integrado em Engenharia Metalúrgica e de Materiais) – Universidade do Porto, Porto, Portugal, 2012;

SANTELLA, M. L.; BABU, S. S.; SWINDEMAN, R. W.; SPECHT, E. D.; ICE, G. E.; ZSCHACK, P. Austenite to Martensite Phase Transformation in 9 Cr 1 Mo Steel Weld Metal. Oak Ridge National Laboratory. EUA, 2002;

SHACKELFORD, J. F. An Introduction to Materials Science for Engineers, 7 ed., Pearson Prentice Hall, New Jersey, USA, 2008;

SHIBLI, I. A. Performance of P91 thick section welds under steady and cycling loading Conditions. OMMI, Vol. 1, Issue 3, 2002;

SPIGARELLI, S.; QUADRINI, E. Analysis of the creep behaviour of modified P91(9Cr-1Mo-NbV) welds. Materials & Design, 23, 547-552, 2002;

TANAKA, Y. Production of creep-resistant steels for turbines, In: Abe, F.; Kern, T.U.; Viswanathan, R., Creep-Resistant Steels, Cap. 5, Woodhead Publishing, 2008;

THOMAS, V. P.; SAROJA, S.; HARIHARAN, P.; RAJADURAI, A.; VIJAYALAKSHMI, M. Identification of microstructural zones and thermal cycles in a weldment of modified 9Cr-1Mo steel. Journal of Materials Science, vol.42, 2007;

VISWANATHAN, R.; BAKKER, W.T. Materials for Boilers in Supercritical Power Plants, In: Proceedings of 2000 International Joint Power Generation Conference, pp. 1-22, Miami Beach, 2000;

WATANABE, T. Creep damage evaluation of 9Cr–1Mo–V–Nb steel welded joints showing Type IV fracture, International Journal of Pressure Vessels and Piping, Volume 83, Issue 1, (2006);

WU, R.; SANDSTROM, R.; SEITISLEAM, F. Influence of extra coarse grains on the creep properties of 9 percent CrMoV (P91) steel weldment, Journal of Engineering Materials and Technology-Transactions of the ASME, 126, 87-94, 2004;

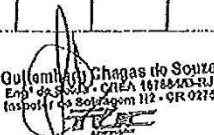
YAMAZAKY, M.; WATANABE, T.; HONGO, H.; TABUCHI, M. Creep rupture properties of welded joints of heat resistant steels, j. of Power Energy Systems Vol. 2 nº 4, 2008;

ZHANG, Y. Changes in microstructure and mechanical properties of P91 weld metal during creep [tese]. The University of Nottingham, Reino Unido, 2009;

ZHANG, Z.; MARSHALL, A.W. and HOLLOWAY, G. B. Flux Cored Arc Welding: The high productivity welding process for P91 steels, Metrode Products, Ltd, 2001.

ANEXOS

ANEXO A - Certificação do Material e dos Consumíveis

CERTIFICADO DE TESTE DE MATERIAIS Inspection Certificate 3.1 / Certificado de Inspeção 3.1 acc. to / conf. DIN EN 10-204 / ISO 10474		Schulz América Latina Schulz CD Quality Assurance Garantia da Qualidade																																																	
CONSORCIO TUC CONSTRUÇÕES EST. OLINDINA PREZADO FERREIRA, S/N-ÁREAS DE TERRA 2. DISTRITO ITABORAÍ RJ 24800-000 BRASIL		Page <input type="text"/> 1 / 2 Date <input type="text"/> 08/08/12 Certificate <input type="text"/> 00036668 Revision <input type="text"/> 0 Our Order <input type="text"/> Nossa Ord. W03305 Our Item <input type="text"/> Nossa Item 01 Your P.O. <input type="text"/> Seu P.O. Your Item <input type="text"/> Seu Item 01 TAG <input type="text"/> TAG Our Ref. <input type="text"/> Nossa Ref. Lula	Página <input type="text"/> Data <input type="text"/> Certificado <input type="text"/> Revisão <input type="text"/> Nossa Ord. <input type="text"/> Nossa Item <input type="text"/> Seu P.O. <input type="text"/> Seu Item <input type="text"/> TAG <input type="text"/> Nossa Ref. <input type="text"/>																																																
Component / Produto <table border="1"> <tr> <td>Description:</td> <td>Descrição:</td> <td>TUBO A335 P91 S/C 160 6"</td> </tr> <tr> <td>Material Grade:</td> <td>Material Grade:</td> <td>P 91</td> </tr> <tr> <td>Class:</td> <td>Classe:</td> <td>SMLS</td> </tr> <tr> <td>Quantity:</td> <td>Quantidade:</td> <td>19.36 M</td> </tr> <tr> <td>Dimensions:</td> <td>Dimensões:</td> <td>6" SCH 160 18,24 mm</td> </tr> </table>		Description:	Descrição:	TUBO A335 P91 S/C 160 6"	Material Grade:	Material Grade:	P 91	Class:	Classe:	SMLS	Quantity:	Quantidade:	19.36 M	Dimensions:	Dimensões:	6" SCH 160 18,24 mm	Marking / Marcação <table border="1"> <tr> <td>PMI</td> </tr> <tr> <td>A335</td> </tr> <tr> <td>P 91-SMLS</td> </tr> <tr> <td>46170</td> </tr> <tr> <td>6" SCH 160</td> </tr> <tr> <td>Brasil</td> </tr> </table>		PMI	A335	P 91-SMLS	46170	6" SCH 160	Brasil																											
Description:	Descrição:	TUBO A335 P91 S/C 160 6"																																																	
Material Grade:	Material Grade:	P 91																																																	
Class:	Classe:	SMLS																																																	
Quantity:	Quantidade:	19.36 M																																																	
Dimensions:	Dimensões:	6" SCH 160 18,24 mm																																																	
PMI																																																			
A335																																																			
P 91-SMLS																																																			
46170																																																			
6" SCH 160																																																			
Brasil																																																			
Requirements / Especificações do Produto <table border="1"> <tr> <td>Base Material:</td> <td>Material Base:</td> <td>ASTM A335 / ASME SA335</td> </tr> <tr> <td>Product form:</td> <td>Produto:</td> <td>ASTM A335 - 10 ASME B 30,10M - 00</td> </tr> <tr> <td>Welding level:</td> <td>Extremidade:</td> <td>ASME B 16.25 - 07</td> </tr> </table>		Base Material:	Material Base:	ASTM A335 / ASME SA335	Product form:	Produto:	ASTM A335 - 10 ASME B 30,10M - 00	Welding level:	Extremidade:	ASME B 16.25 - 07																																									
Base Material:	Material Base:	ASTM A335 / ASME SA335																																																	
Product form:	Produto:	ASTM A335 - 10 ASME B 30,10M - 00																																																	
Welding level:	Extremidade:	ASME B 16.25 - 07																																																	
Heat Treatment / Tratamento Térmico Normalizado a 1070°C por 67 min. e resfriado em ar / Revenido a 770°C por 180 min. e resfriado em ar ✓																																																			
Chemical Composition / Composição Química <table border="1"> <thead> <tr> <th colspan="2">Melting Process / Tipo de Fundição:</th> <th colspan="14">BAF / AOD</th> </tr> <tr> <th>Heat</th> <th>Corrida</th> <th>C</th> <th>Si%</th> <th>Mn%</th> <th>P %</th> <th>S %</th> <th>Cr%</th> <th>Ni%</th> <th>Mo%</th> <th>Cu%</th> <th>Al%</th> <th>N %</th> <th>Ti%</th> <th>V %</th> <th>As%</th> </tr> </thead> <tbody> <tr> <td></td> <td>46170</td> <td>0.108</td> <td>0.330</td> <td>0.630</td> <td>0.013</td> <td>0.002</td> <td>8.660</td> <td>0.300</td> <td>0.870</td> <td>0.100</td> <td>0.012</td> <td>0.053</td> <td>0.003</td> <td>0.221</td> <td>0.006</td> </tr> </tbody> </table>				Melting Process / Tipo de Fundição:		BAF / AOD														Heat	Corrida	C	Si%	Mn%	P %	S %	Cr%	Ni%	Mo%	Cu%	Al%	N %	Ti%	V %	As%		46170	0.108	0.330	0.630	0.013	0.002	8.660	0.300	0.870	0.100	0.012	0.053	0.003	0.221	0.006
Melting Process / Tipo de Fundição:		BAF / AOD																																																	
Heat	Corrida	C	Si%	Mn%	P %	S %	Cr%	Ni%	Mo%	Cu%	Al%	N %	Ti%	V %	As%																																				
	46170	0.108	0.330	0.630	0.013	0.002	8.660	0.300	0.870	0.100	0.012	0.053	0.003	0.221	0.006																																				
Mechanical Properties / Propriedades Mecânicas Tensile Test / Ensaio de Mecânicos <table border="1"> <thead> <tr> <th rowspan="2">LE (MPA) YIELD</th> <th rowspan="2">LR (MPA) TENSILE</th> <th rowspan="2">ALONG (%)</th> <th rowspan="2">ESTRICAÇÃO (%) REDAR</th> <th rowspan="2">DUREZA (HB) HARNESS</th> <th colspan="5">IMPACT TEST / TESTE DE IMPACTO</th> </tr> <tr> <th>CP</th> <th>TEMP</th> <th>ENERGY/INÉRCIA(J)</th> <th>AVG/MÉD</th> </tr> </thead> <tbody> <tr> <td>630</td> <td>728</td> <td>21</td> <td>NA</td> <td>204</td> <td></td> <td></td> <td></td> <td></td> <td></td> </tr> </tbody> </table>				LE (MPA) YIELD	LR (MPA) TENSILE	ALONG (%)	ESTRICAÇÃO (%) REDAR	DUREZA (HB) HARNESS	IMPACT TEST / TESTE DE IMPACTO					CP	TEMP	ENERGY/INÉRCIA(J)	AVG/MÉD	630	728	21	NA	204																													
LE (MPA) YIELD	LR (MPA) TENSILE	ALONG (%)	ESTRICAÇÃO (%) REDAR						DUREZA (HB) HARNESS	IMPACT TEST / TESTE DE IMPACTO																																									
				CP	TEMP	ENERGY/INÉRCIA(J)	AVG/MÉD																																												
630	728	21	NA	204																																															
 Quilométrico Chagas do Souza End. das Artes, Qdra. 1678/403-21 Itapetininga - São Paulo - CEP 112 - CR-0219																																																			
NBR ISO 9001:2008 SCHULZ AMERICA LATINA IMP. EXP. LTDA CNPJ: 00910246000596 INSCRIÇÃO ESTADUAL: 78003300 AV. RIO BRANCO, 123 CENTRO RIO DE JANEIRO - Brasil - CEP: 20040006 TELEFONE: 002132999300 / FAX: 002132999393																																																			



LINCOLN ELECTRIC DO
BRASIL

Indústria e Comércio Ltda.
Av. Papa João Paulo I, 1818
CEP 07170-350 – Cumbica – Guarulhos
SP – Brasil
Fone: 55 11 2431-4732 - Fax: 55 11 2432-3164

CERTIFICADO DE QUALIDADE
ARAME TUBULAR

(Conforme ASME II PARTE C SFA-5.01 ED. 2010 Addenda 2011)

Marca do Arame: Supercore F91 ✓
 Lote nº: U2FC142353 ✓ Data de Emissão: 14/05/2014 ✓
 Classificação: E91T1-B9 C/M ✓ Dimensão (mm): 1,2mm ✓
 ASME: ASME II Part C: SFA-5.29 Ed. 2010 Add. 2011: E91T1-B9 C/M ✓
 AWS: A5.29M ✓
 EN: ISO 17634B: T69T1-1C/M-9C1MV ✓
 AWS A5.36M: E91T1-C1/M21 PZ-B91 ✓
 EN: ISO 17634B: T69T1-1C/M-9C1MV ✓

1) Análise Química - EN 10204: 3.1 ✓

	C ✓	Mn ✓	Si ✓	S ✓	P ✓	Cr ✓	Ni ✓	Mo ✓	Nb ✓
(Metal de Solda)	0,084	0,60	0,33	0,010	0,018	8,86	0,48	1,00	0,04
	Cu ✓	V ✓	Al ✓	As ✓	Sn ✓	Sb ✓	N ✓	Ni + Mn ✓	X-fac
(Metal de Solda)	0,06	0,21	0,006	0,001	0,007	0,003	0,05	1,08 ✓	21,0 ✓

2) Ensaios Mecânicos – EM 10204: 2.2 ✓

Ensaios de Tração - Condição:	PWHT (2.0h@760°C)
Resistência (MPa)	790 ✓
Escoamento (MPa)	660 ✓
Alongamento A4 (%)	20 ✓
Alongamento A5 (%)	18 ✓
Alongamento Z (%)	55 ✓

Ensaios de Impacto ✓	
20°C	(J) ✓ 28 ✓

Atende ao Padrão Radiográfico AWS 5.29. ✓
 Atende aos testes de filetes AWS 5.29, fig. 4 ✓

CONSORCIO TUC CONSTRUÇÕES

ANÁLISE DE CERTIFICADO

Atende as requisitos do(a): AWS AS.29 / XQPS

Emitido por:

Thiago Silva

Guttemberg Chagas de Souza
 Engº de Solda - CREA 167884/D-RJ
 Inspetor da Soldagem N2 - CR 0275

Este produto é fabricado e fornecido de acordo com o programa de Sistema de Gestão da Qualidade da METRODE PRODUCT LIMITED de acordo com o sistema de Qualidade ISO 9001



LINCOLN ELECTRIC DO
BRASIL

Indústria e Comércio Ltda.
Av. Papa João Paulo I, 1818
CEP 07170-350 – Cumbica – Guarulhos
SP – Brasil
Fone: 55 11 2431-4732 - Fax: 55 11 2432-3164

**CERTIFICADO DE QUALIDADE
VARETA TIG**

(Conforme ASME II PARTE C SFA-5.01 ED. 2010 Addenda 2011)

Marca da Vareta:	9CrMoV-N ✓	Data de Emissão:	02/08/2013 ✓							
Lote nº:	U2TG13008 ✓	Dimensão (mm):	3,2mm ✓							
Classificação:	ER90S-B9 ✓	AWS:	A5.28M ✓							
ASME:	ASME II Part C: SFA-5.28 Ed. 2010 Add. 2011: ER90S-B9 ✓									
EN:	ISO 21952-A: W CRM091 ✓									
1) Análise Química - EN 10204: 3.1										
(Metal de Solda)	C ✓	Mn ✓	Si ✓	S ✓	P ✓	Cr ✓	Ni ✓	Mo ✓	(Nb)	
	0,123	0,75	0,24	0,004	0,007	8,90	0,44	0,95	0,06	
(Metal de Solda)	Cu ✓	V ✓	Al ✓	As	Sn	Sb	(N)	X-fac	Ni+Mn	Mn/S
	0,05	0,20	0,001	0,003	0,004	0,002	0,04	9,9 ✓	1,19 ✓	187,5 ✓
	$N + Nb = 0,04 + 0,06 = 0,10$ ✓									

2) Ensaios Mecânicos – EM 10204: 2.2 ✓

Ensaio de Tração - Condição:		PWHT
Resistência	(MPa)	780 ✓
Eescoamento	(MPa)	675 ✓
Alongamento A4	(%)	22 ✓
Alongamento A5	(%)	19 ✓
Alongamento Z	(%)	70 ✓
Ensaio de Impacto		
20°C ✓	(J)	226 ✓

Atende ao Padrão Radiográfico AWS 5.28. ✓

Emitido por:

Karine Zaccari

CONSÓRCIO TUC CONSTRUÇÕES

ANÁLISE DE CERTIFICADO

Atende as requisitos do(s): AWS 5.28 / FGAS

Guttemberg Chagas de Souza

Este produto é fabricado e fornecido de acordo com o programa de Sistema de Gestão da Qualidade da INSTITUTO DE REDE DE SOLDADURA
LIMITED de acordo com o sistema de Qualidade ISO Inspetor de Soldagem N2 - CR 0275

ANEXO B - Registros de Acompanhamento de Soldagem

Primeira Soldagem

CONSELHO TUC CONSTRUÇÕES		R.A.S REGISTRO DE ACOMPANHAMENTO DE SOLDAGEM												Nº CP 01 UER REV: 0 DATA: 15 / 04 / 2014 FOLHA: 01								
CP: CP 01		EPS: 001-GQ-5000-EP5-52-0048		RQPS: OS-TXA-1SE-01		ACOMPANHAMENTO DE SOLDAGEM																
rial de Base: ASTM A 335 Gr P91		Diâmetro (mm): 6"		Espessura Material de Base (mm): 20mm		Espessura por Processo: GTAW: 8mm / FCAW: 12mm																
e Síntese do Soldador: MARCOS VINÍCIOS SILVA PINHO Síntese: 200																						
CROQUI DA JUNTA								CROQUI DA SEQUÊNCIA DE PASSES														
PASSES NÚMERO:																						
	1	2	3	4	5	6	7	8	9	10	11	12	13	14	15	16	17	18	19			
Camada	1	2	3	4	5	5	5	6	6	6	6	6	7	7	7	7	7	7				
Processo	GTAW	GTAW	GTAW	FCAW	FCAW	FCAW	FCAW	FCAW	FCAW	FCAW	FCAW	FCAW	FCAW	FCAW	FCAW	FCAW	FCAW					
Classificação	EN 90-SB-9	EN 90-SB-10	EN 90-SB-11	91 T1-B9 MCH4	91 T1-B9 MCH4	91 T1-B9 MCH4	91 T1-B9 MCH4	91 T1-B9 MCH4	91 T1-B9 MCH4	91 T1-B9 MCH4	91 T1-B9 MCH4	91 T1-B9 MCH4	91 T1-B9 MCH4	91 T1-B9 MCH4	91 T1-B9 MCH4	91 T1-B9 MCH4	91 T1-B9 MCH4					
Fabricante	METODE	METODE	METODE	METODE	METODE	METODE	METODE	METODE	METODE	METODE	METODE	METODE	METODE	METODE	METODE	METODE	METODE					
Ø (mm)	3,2	3,3	3,4	1,2	1,2	1,2	1,2	1,2	1,2	1,2	1,2	1,2	1,2	1,2	1,2	1,2	1,2					
STO (mm)	-	-	-	16,00	16,00	16,00	16,00	16,00	16,00	16,00	16,00	16,00	16,00	16,00	16,00	16,00	16,00					
Posição	6G	6G	6G	6G	6G	6G	6G	6G	6G	6G	6G	6G	6G	6G	6G	6G	6G					
Progressão	ASC.	ASC.	ASC.	ASC.	ASC.	ASC.	ASC.	ASC.	ASC.	ASC.	ASC.	ASC.	ASC.	ASC.	ASC.	ASC.	ASC.					
Tensão (V)	13,90	13,90	13,90	27,00	27,00	27,00	27,00	27,00	27,00	27,00	27,00	27,00	27,00	27,00	27,00	27,00	27,00					
Amperagem (A)	110,0	149,0	149,0	172,0	172,0	172,0	168,0	168,0	168,0	168,0	168,0	164,0	164,0	164,0	164,0	164,0	164,0					
WFS (in/min)	-	-	-	300,0	300,0	300,0	300,0	300,0	300,0	300,0	300,0	290,0	290,0	290,0	290,0	290,0	290,0					
Veloc. solda (cm/min)	4,53	9,11	8,10	27,34	19,94	23,34	23,93	15,79	23,46	23,57	18,20	17,40	25,45	24,42	26,44	22,47	21,47					
T _a (min)	10,56	5,25	5,91	1,75	2,40	2,05	2,00	3,03	2,04	2,03	2,53	2,75	1,88	1,96	1,81	2,13	2,26					
FT																						
Tipo	ARG.	ARG.	ARG.	ARG.+CO2	ARG.+CO2	ARG.+CO2	ARG.+CO2	ARG.+CO2	ARG.+CO2	ARG.+CO2	ARG.+CO2	ARG.+CO2	ARG.+CO2	ARG.+CO2	ARG.+CO2	ARG.+CO2	ARG.+CO2					
%	99,98%	99,98%	99,98%	80+20	80+20	80+20	80+20	80+20	80+20	80+20	80+20	80+20	80+20	80+20	80+20	80+20	80+20					
Vazão (L/min)	12,0	12,0	12,0	14,0	14,0	14,0	14,0	14,0	14,0	14,0	14,0	14,0	14,0	14,0	14,0	14,0	14,0					
Tipo	ARG.	ARG.	ARG.	-	-	-	-	-	-	-	-	-	-	-	-	-	-					
%	99,98%	99,98%	99,98%	-	-	-	-	-	-	-	-	-	-	-	-	-	-					
Vazão (L/min)	13,0	13,0	13,0	-	-	-	-	-	-	-	-	-	-	-	-	-	-					
Espessura da camada (mm)	4,00	2,00	2,00	2,00	2,00	4,00	4,00	4,00	5,00	5,00	5,00	5,00	3,00	3,00	3,00	3,00	3,00					
Largura do cordão (mm)	7,00	11,00	12,00	11,00	14,00	13,00	10,00	14,00	10,00	10,00	10,00	12,00	13,00	12,00	12,00	12,00	11,00					
Interpasso	-	282,00	289,00	268,00	284,00	295,00	289,00	263,00	253,00	266,00	288,00	296,00	275,00	284,00	292,00	306,00	312,00					
Pré-aqueci.	250,00																					
Heat Input (kJ/cm)	20,25	13,63	15,35	10,19	13,98	11,94	11,38	17,23	11,60	11,55	14,96	15,64	10,44	10,88	10,05	11,83	12,55					

Primeiro Reparo

Segundo Reparo

ANEXO C - Resultados dos Ensaios de Impacto e Tração

Junta Sem Reparo

~~Guttemberg Onácio de Souza
Engº da Solda - CREA 167884/D-RJ
Inspector de Soldagem N2 - CR 0275~~

Inspector: John G. Burt
 02/06/14

— 1 —

L. C. S.

11

• 100

120

✓ ✓ ✓ ✓ ✓ ✓ ✓ ✓ ✓ ✓

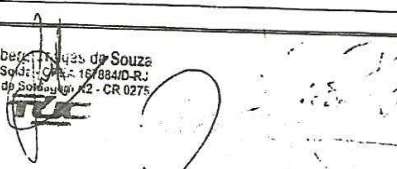
Figure 1. The effect of the number of iterations on the convergence of the proposed algorithm.

Revisão 01 de 13/12/2010



DMCJ Inspeções e Ensaios de Materiais Ltda. - CNPJ: 06.319.231/0001-49
 Avenida Cesário de Melo, 1465 - Senador Vasconcelos, Rio de Janeiro/RJ. Cep: 23085-110
 E-mail: laboratorio@dmcj.com.br - Sugestões e Reclamações: sac@dmcj.com.br

RESULTADO DE ENSAIOS

Ensalo	002431	Data:	5/6/2014	Hora:	09:58				
Identificação:	OS DM 396-14								
Cliente:	CONSORCIO TUC CONSTRUÇÕES								
Norma:	ASME B31.3 - 2010 / ASME IX - 2010 / N-2301 / N-133L								
Condições Ambientes °C:	21	Umidade Relativa:	50%						
RESULTADO(S) DE ENSAIO(S) DE TRAÇÃO									
Amostra Nº	Força Máxima	Limite de Resistência	Limite de Escoamento	Carga Limite de Escoamento	Alongamento	Redução de Área	Área transversal	Dimensões Amostra LxE	Comprimento
	N	MPa	MPa	N	%	%	mm²	mm	mm
T1	239927.00	670	***	***	***	***	358.10	19.73*18.15	***
T2	256147.50	735	***	***	***	***	348.50	19.21*18.14	***
Máximo	256147.5	735					358.1		
Mínimo	239927	670					348.5		
Média	248037.25	702.5					353.3		
Desvio Padrão	11469.62554	45.96194078					6.788225099		
Informações de Ensaio:									
CP 01R									
PROCESSO: GTAW / FCAW									
POSIÇÃO: 6G									
MATERIAL: ASTM A 335 Gr.P91									
RUPTURA NO METAL DE BASE									
Presente(s):									
DIEGO TEIXEIRA PEDRO - UERJ GUTTEMBERG CHAGAS - ISN2 <p style="text-align: center;"> <small>Guttemberg Chagas da Souza Engº de Soldadura CR 167884/D-R Inspetor de Soldadura CR 0275</small> </p> <p style="text-align: center;">  <small>Renan dos Santos de Oliveira</small> <small>Técnico Mecânico</small> </p>									
DOCUMENTO SEM EFEITO LEGAL - AGUARDAR RELATÓRIO FINAL									

Junta com Duplo Reparo

DMCJ	RESULTADO DE ENSAIO DE IMPACTO
<i>Inspeções</i>	RQ 08 05-09
DATA DO TESTE:	7/7/2014
ORDEM DE SERVIÇO:	OS DM 454-14
CLIENTE:	CONSORCIO TUC CONSTRUCOES
MATERIAL:	ASTM A 335 Gr.P91
NORMA:	ASME B31.3 / ASME IX
REFERENCIA:	CP 003
DIMENSÕES DO CP:	10.00 x 10.00mm
TIPO DO ENTALHE:	V-2mm
TEMPERATURA DO ENSAIO:	20°C
OPERADOR:	VITOR DE OLIVEIRA RAMOS

Guttemberg Chagas de Souza
Engº de Solda CRE 157884/D-RJ
Inspetor de Soldagem N2 - CR 0275

(Signature)
berg Chagas de Souza
olida /CREM 167884/D-RJ
a Soldagem N2 - CR 0275

John
07/07/14

DMCJ Inspeções		DMCJ Inspeções e Ensaio de Materiais Ltda. - CNPJ: 06.319.231/0001-49 Avenida Cesário de Melo, 1465 - Senador Vasconcelos, Rio de Janeiro/RJ. Cep: 23085-110 E-mail: laboratorio@dmcj.com.br - Sugestões e Reclamações: sac@dmcj.com.br									
RESULTADO DE ENSAIOS											
Ensaios	002494	Data:	7/7/2014	Hora:	09:56						
Identificação:	OS DM 454-14										
Cliente:	CONSORCIO TUC CONSTRUÇÕES										
Norma:	ASME B31.3 / ASME IX										
Condições Ambientes °C:	21	Umidade Relativa:	50%								
<p>Load-Displacement Curve</p> <p>Load(kN)</p> <p>Displacement(mm)</p>											
RESULTADO(S) DE ENSAIO(S) DE TRAÇÃO											
Amostra Nº	Força Máxima	Límite de Resistência	Límite de Escoamento	Carga Límite de Escoamento	Alongamento	Redução de Área	Área transversal	Dimensões Amostra LxE	Comprimento		
	N	MPA	MPA	N	%	%	mm ²	mm	mm		
T1	249753.00	735	***	***	***	***	339.80	19.23*17.67	***		
T2	247247.00	715	***	***	***	***	345.80	19.36*17.86	***		
Máximo	249753	735					345.8				
Mínimo	247247	715					339.8				
Média	248500	725					342.8				
Desvio Padrão	1772.009594	14.14213562					4.242640687				
Informações de Ensaios:											
CP 003											
PROCESSO: GTAW / FCAW											
MATERIAL: ASTM A 335 Gr.P91											
RUPTURA NO METAL DE BASE											
Presente(s):											
GUTTEMBERG - CONSORCIO TUC DIEGO TEIXEIRA PEDRO - UERJ Guttemberg, J. / SOUZA Engº da Solda - CR 0275/834/RJ Inspetor de Soldagem N2 - CR 0275 Vitor de Oliveira Ramos Laboratório											
DOCUMENTO SEM EFEITO LEGAL - AGUARDAR RELATÓRIO FINAL											